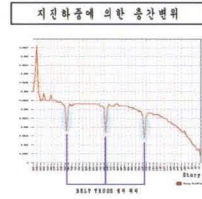
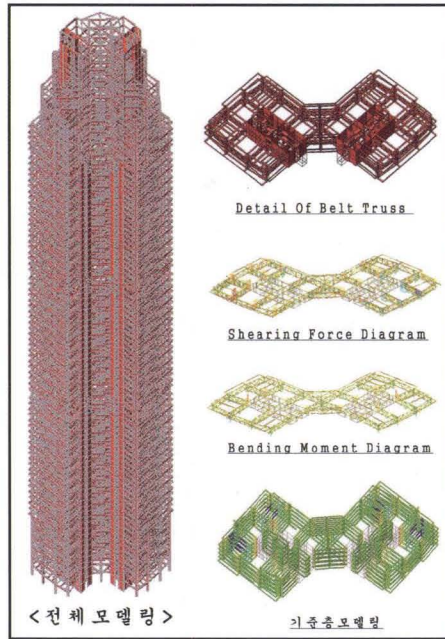
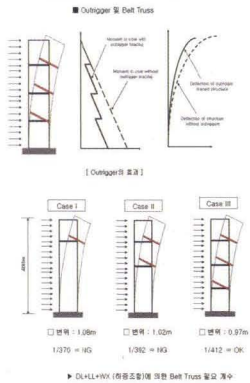


## 초고층 건물에서 벨트 트러스와 아웃거리의 효과적인 변위제어를 위한 유한요소해석



Mode	Period (sec)	Response Spectrum	Effective Mass (%)
1	1.10	0.05	10.0
2	0.85	0.08	15.0
3	0.75	0.10	18.0
4	0.65	0.12	20.0
5	0.55	0.14	22.0
6	0.45	0.16	24.0
7	0.35	0.18	26.0
8	0.25	0.20	28.0
9	0.15	0.22	30.0
10	0.10	0.24	32.0

고유진동해석 (Eigenvalue Analysis)

Mode	Case	Period (sec)	Effective Mass (%)
1	Case I	1.10	10.0
1	Case II	1.05	10.0
1	Case III	1.00	10.0
2	Case I	0.85	15.0
2	Case II	0.80	15.0
2	Case III	0.75	15.0
3	Case I	0.75	18.0
3	Case II	0.70	18.0
3	Case III	0.65	18.0
4	Case I	0.65	20.0
4	Case II	0.60	20.0
4	Case III	0.55	20.0
5	Case I	0.55	22.0
5	Case II	0.50	22.0
5	Case III	0.45	22.0
6	Case I	0.45	24.0
6	Case II	0.40	24.0
6	Case III	0.35	24.0
7	Case I	0.35	26.0
7	Case II	0.30	26.0
7	Case III	0.25	26.0
8	Case I	0.25	28.0
8	Case II	0.20	28.0
8	Case III	0.15	28.0
9	Case I	0.15	30.0
9	Case II	0.10	30.0
9	Case III	0.05	30.0
10	Case I	0.10	32.0
10	Case II	0.05	32.0
10	Case III	0.01	32.0

모드 참여율 (Modal Participation Masses)

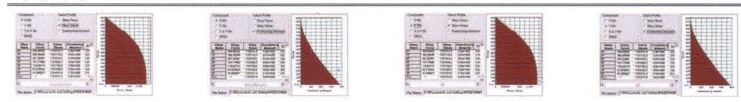
Mode	Case	Ux	Uy	Uz	Ux	Uy	Uz
1	Case I	0.99	0.01	0.00	0.99	0.01	0.00
1	Case II	0.99	0.01	0.00	0.99	0.01	0.00
1	Case III	0.99	0.01	0.00	0.99	0.01	0.00
2	Case I	0.01	0.99	0.00	0.01	0.99	0.00
2	Case II	0.01	0.99	0.00	0.01	0.99	0.00
2	Case III	0.01	0.99	0.00	0.01	0.99	0.00
3	Case I	0.01	0.01	0.99	0.01	0.01	0.99
3	Case II	0.01	0.01	0.99	0.01	0.01	0.99
3	Case III	0.01	0.01	0.99	0.01	0.01	0.99

Detail Of Belt Truss

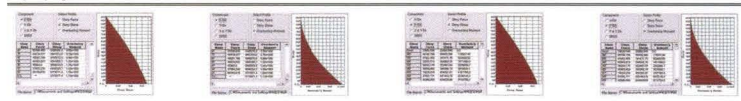
Shearing Force Diagram

Bending Moment Diagram

지진하중

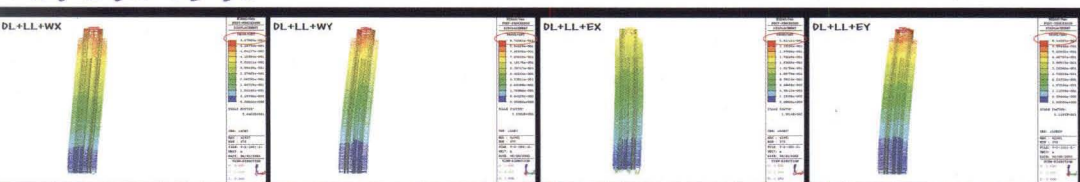


풍하중

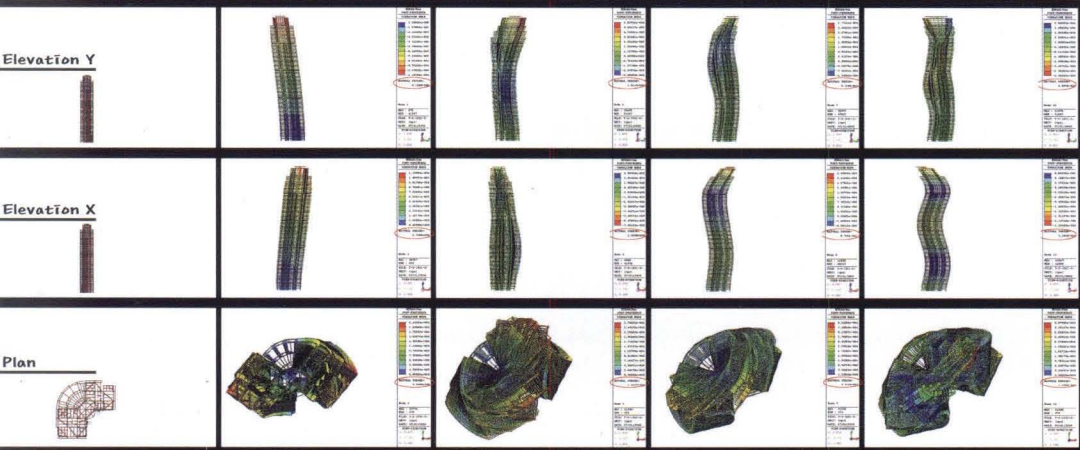


+ 벨트 트러스가 세 개로 최적화된 상태

+ 하중 조합에 따른 변위



+ 모드 형상

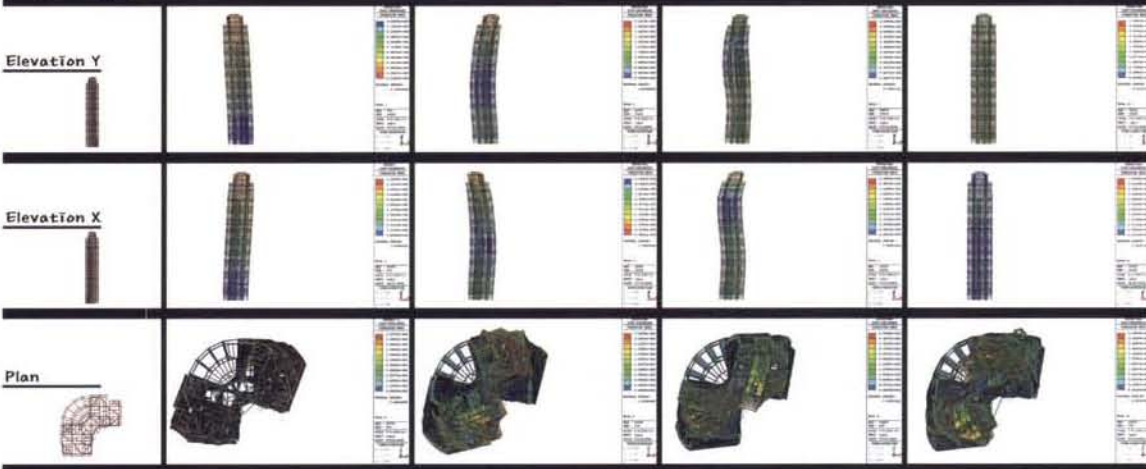


## + 상부에 벨트트러스가 두 개 있는 경우

+ 라중 조침에 따른 변위



+ 모드 형상



## + 상부에 벨트트러스가 한 개 있는 경우

+ 라중 조침에 따른 변위



+ 모드 형상

